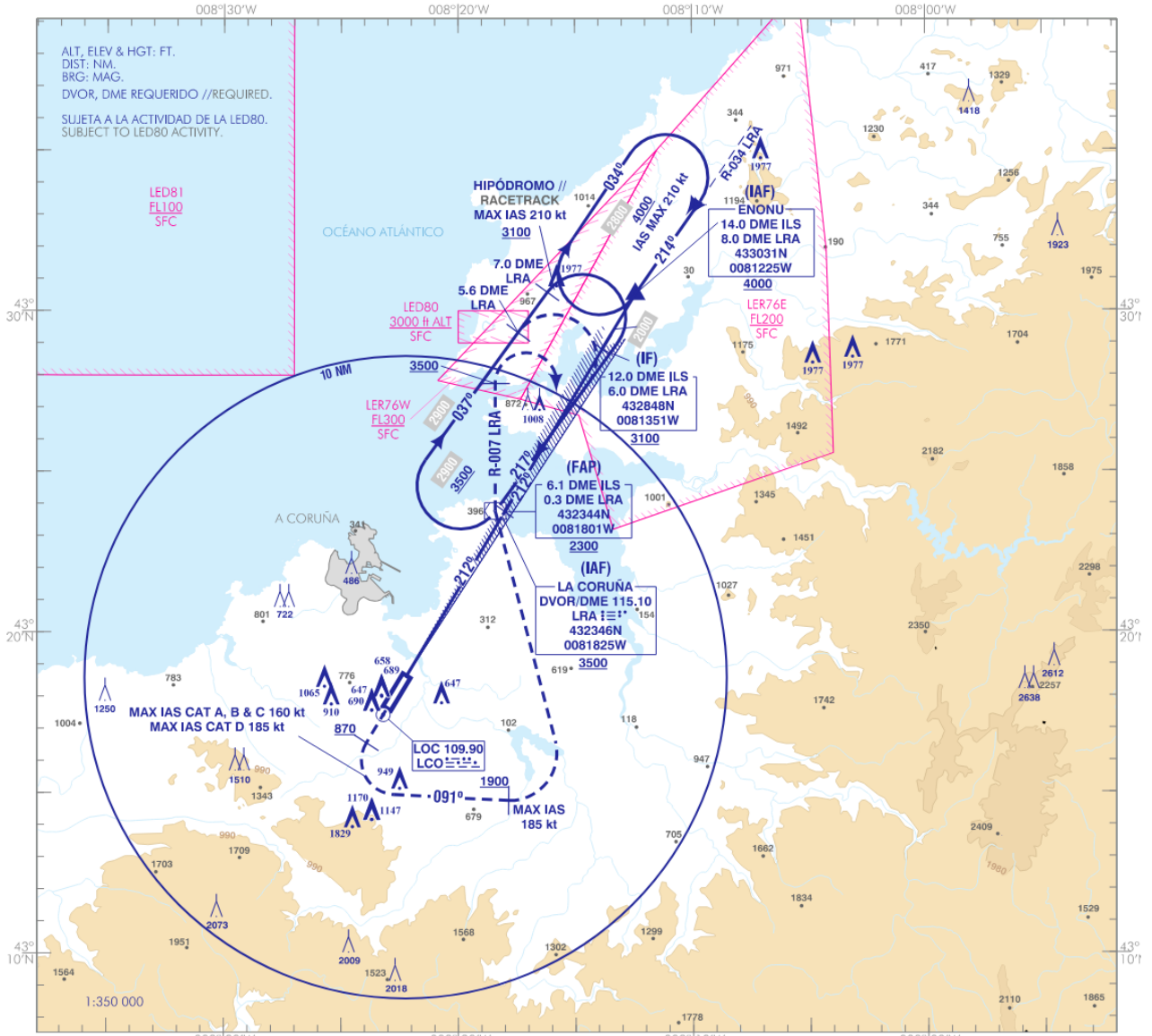


CARTA DE APROXIMACIÓN
POR INSTRUMENTOS-OACI

ELEV AD
330 ft
VAR 1°W (2025)

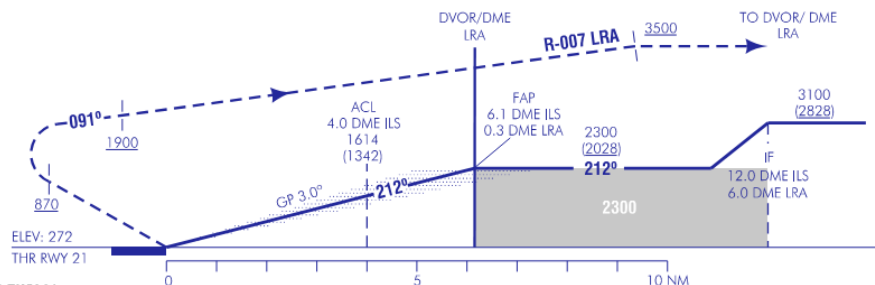
APP 120.200 MHz
TWR 118.305 C
GMC 121.705 C
ATIS 129.005 C

A CORUÑA
ILS X
RWY 21



FRUSTRADA: ASCENDER EN RUMBO DE PISTA HASTA ALCANZAR 870, VIRAR A LA IZQUIERDA (IAS MAX: CAT A, B & C 160 kt; CAT D 185 kt). NO VIRAR ANTES DE 2.5 DME ILS (ANTES DEL THR), PARA SEGUIR RUMBO MAGNÉTICO 091° HASTA ALCANZAR 1900. VIRAR A LA IZQUIERDA (IAS MAX 185 kt) DIRECTO AL DVOR/DME LRA. PROCEDER EN R-007 LRA HASTA ALCANZAR 3500. VIRAR A LA DERECHA PARA INCORPORARSE A LA ESPERA.

MISSED APCH: CLIMB ON HEADING RUNWAY UNTIL REACH 870, TURN LEFT (MAX IAS: CAT A, B & C 160 kt; CAT D 185 kt). DO NOT TURN BEFORE 2.5 DME ILS (BEFORE THR), TO FOLLOW MAGNETIC HEADING 091° TO REACH 1900. TURN LEFT (MAX IAS 185 kt) DIRECT TO DVOR/DME LRA. PROCEED ON R-007 LRA UP TO REACH 3500. TURN RIGHT TO JOIN THE HOLDING.

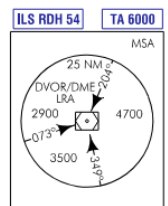


HGT REF ELEV THR RWY 21

OCA/H		A	B	C	D
STA	CAT I 2.5%	692 (420)	704 (432)	712 (440)	750 (478)
	CAT I 4.0%	595 (323)	607 (335)	615 (343)	657 (385)
	CAT I 5.0%	564 (292)	576 (304)	584 (312)	605 (333)
	CAT II 2.5%	(332)	(349)	(361)	(401)
	CAT II 5.0%	(181)	(198)	(210)	(257)
En circuito (H) sobre Circling (H) over 330		1230 (910)	1380 (1060)	2300 (1980)	

GS	kt	80	100	120	140	160	180
FAP-THR: 6.1 NM	mins	4:34	3:39	3:03	2:37	2:17	2:02
FAP-MAPT:	mins						
ROD: 5.2 %	ft/min	425	531	637	743	849	955

ALT/HGT DME (ILS) FNA												
13	12	11	10	9	8	7	6	5	4	3	2	1
							2270 (2000)	1950 (1670)	1620 (1350)	1290 (1020)	970 (700)	



CARTA NUEVA
NEW CHART

CAMBIOS:
CHANGES:

REQUISITOS DE LA BASE DE DATOS AERONÁUTICA

AERONAUTICAL DATABASE REQUIREMENTS

PROCEDIMIENTOS DE APROXIMACIÓN POR INSTRUMENTOS
INSTRUMENT APPROACH PROCEDURES

ILS X RWY 21

PUNTO	LAT	LONG	AZIMUT VERDADERO	DISTANCIA DME (NM)
POINT	LAT	LONG	TRUE BEARING	DME DISTANCE (NM)
ENONU (IAF)	433031.0N	0081225.3W	030.94° (LOC LCO)	14.00 DME ILS
DVOR/DME LRA (IAF)	432346.2N	0081824.5W	–	–
IF	432847.7N	0081350.8W	030.94° (LOC LCO)	11.99 DME ILS
FAP	432344.6N	0081800.9W	030.94° (LOC LCO)	6.09 DME ILS
Aproximación final de precisión - Pendiente (Ángulo de descenso) Precision final approach - Slope (Descent angle)				5.24% (3.00°)